

Buracos Negros: Sementes ou Cemitérios de Galáxias?

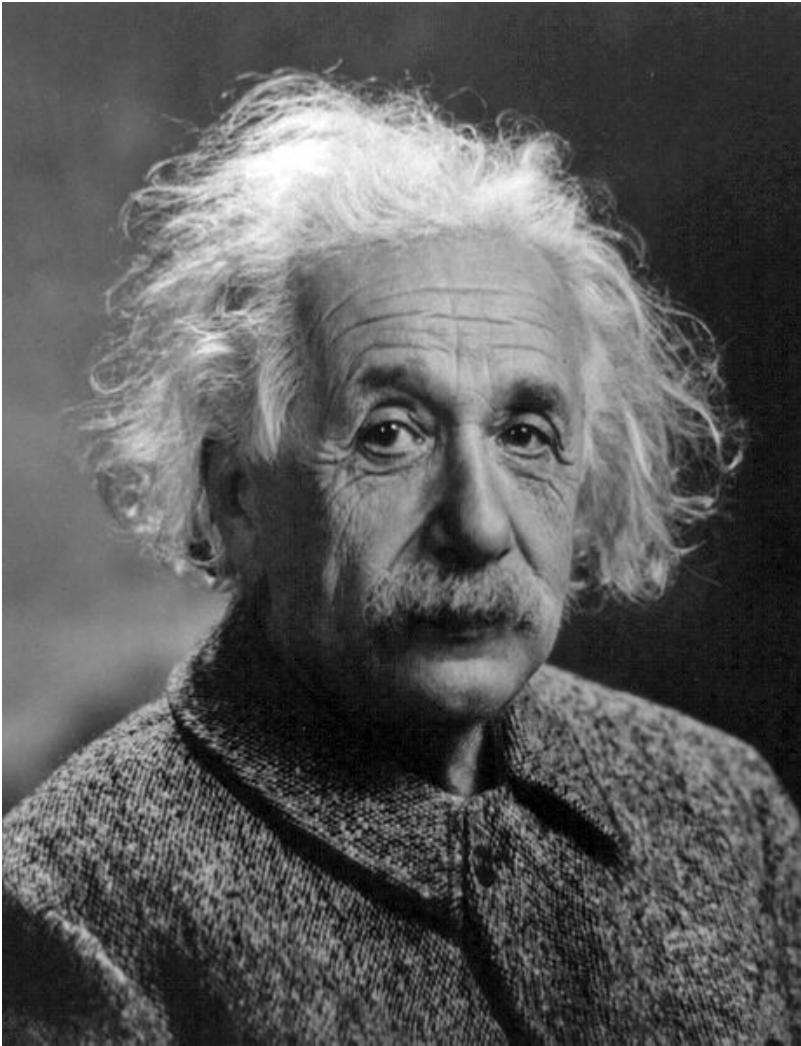
João Steiner

IAG - Universidade de São Paulo

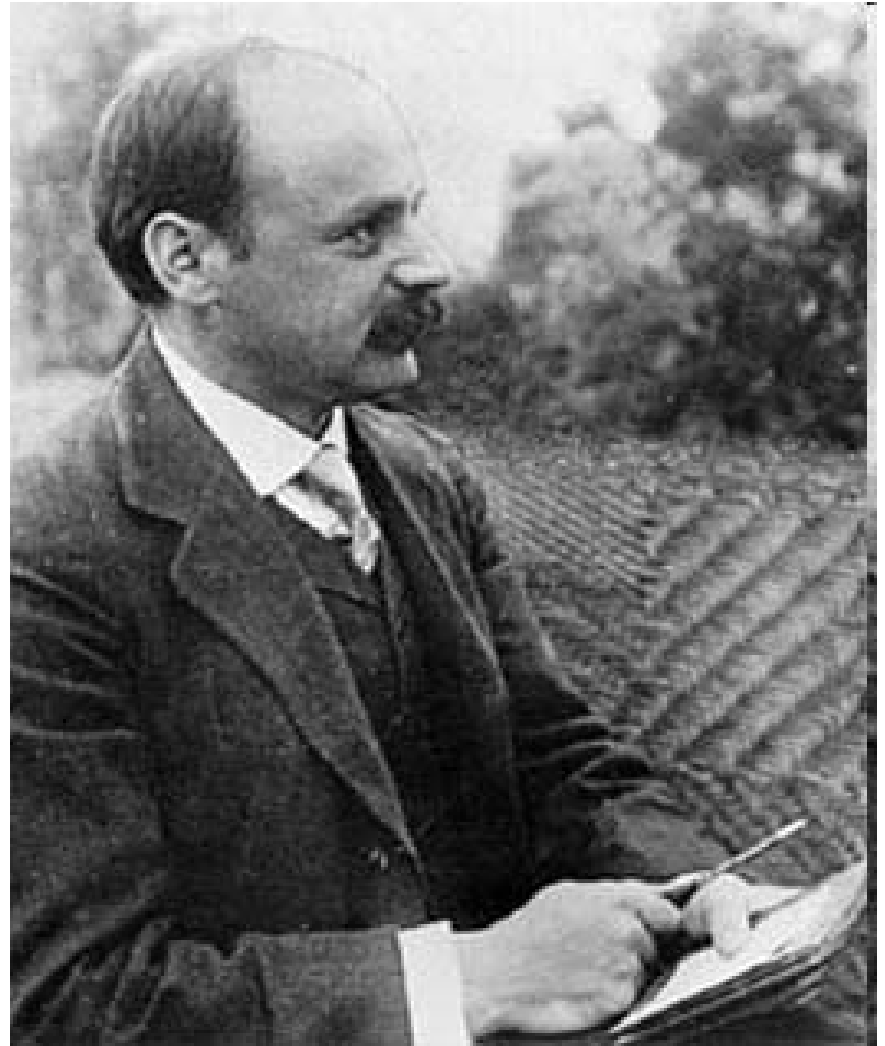
Instituto de Estudos Avançados – USP

5 de maio de 2011

Albert Einstein (1879-1955)

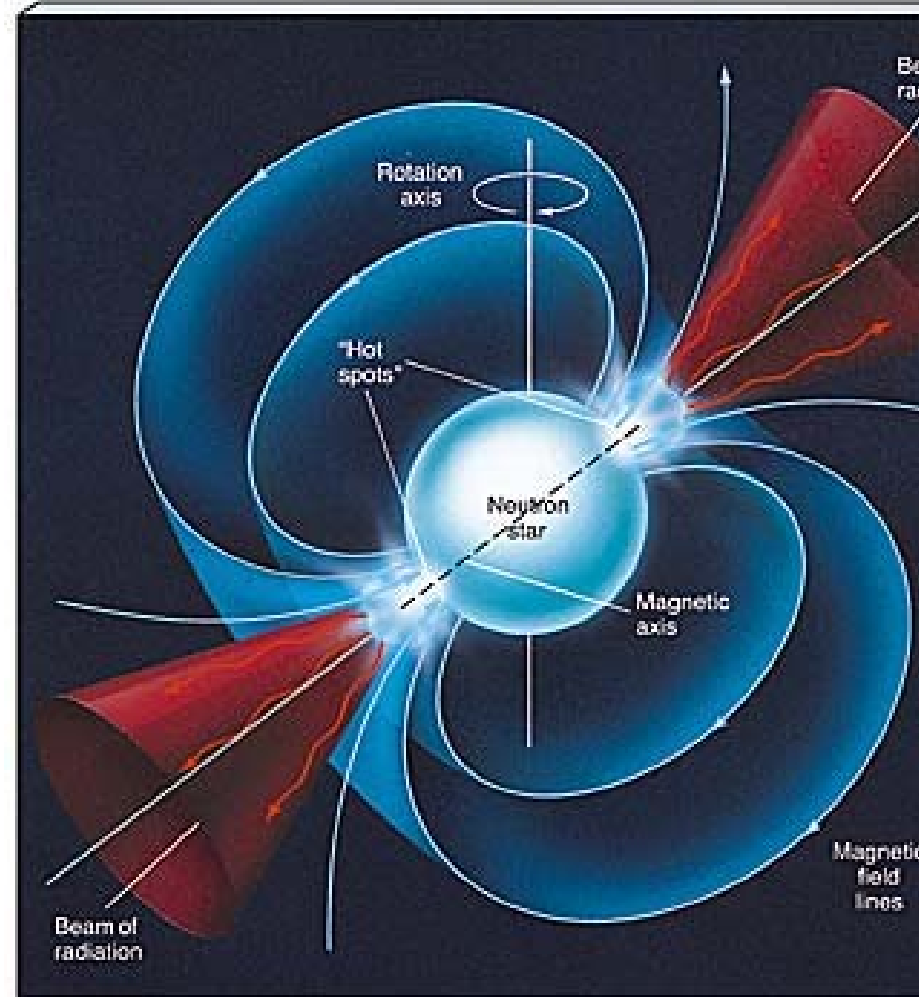
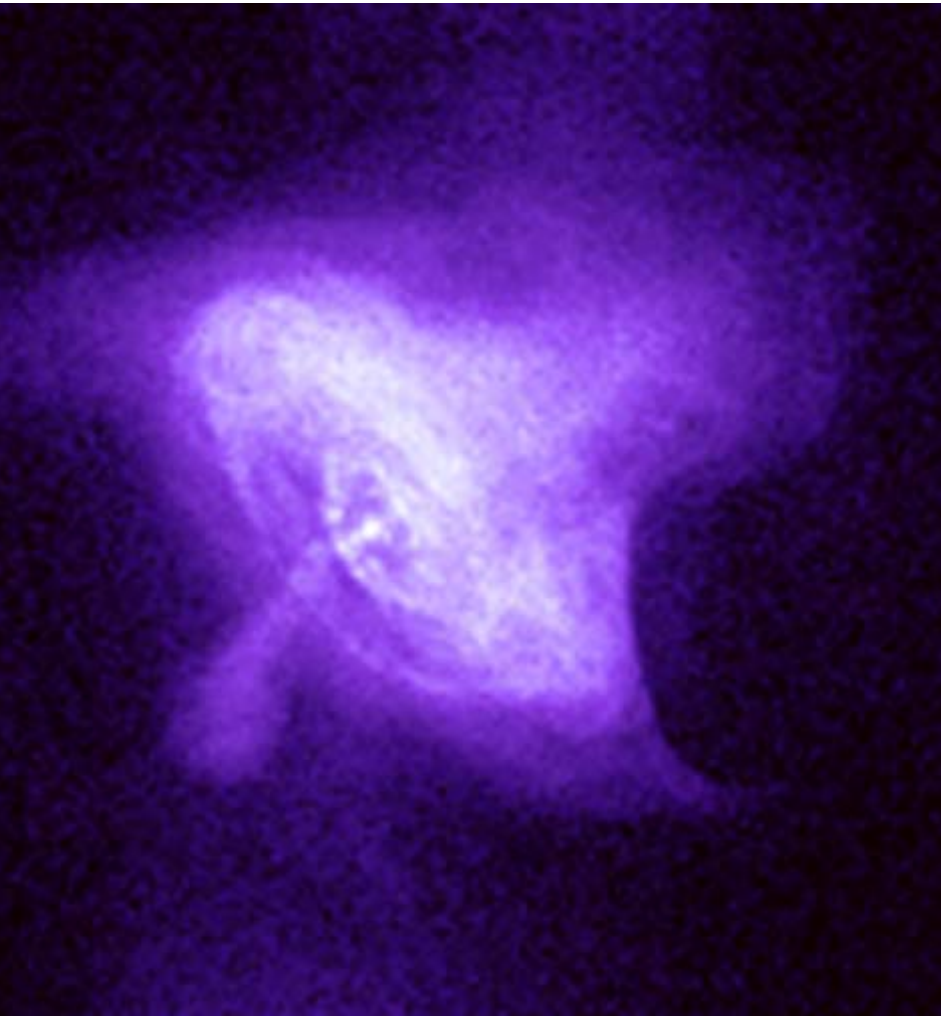


Karl Schwarzschild (1873-1916)





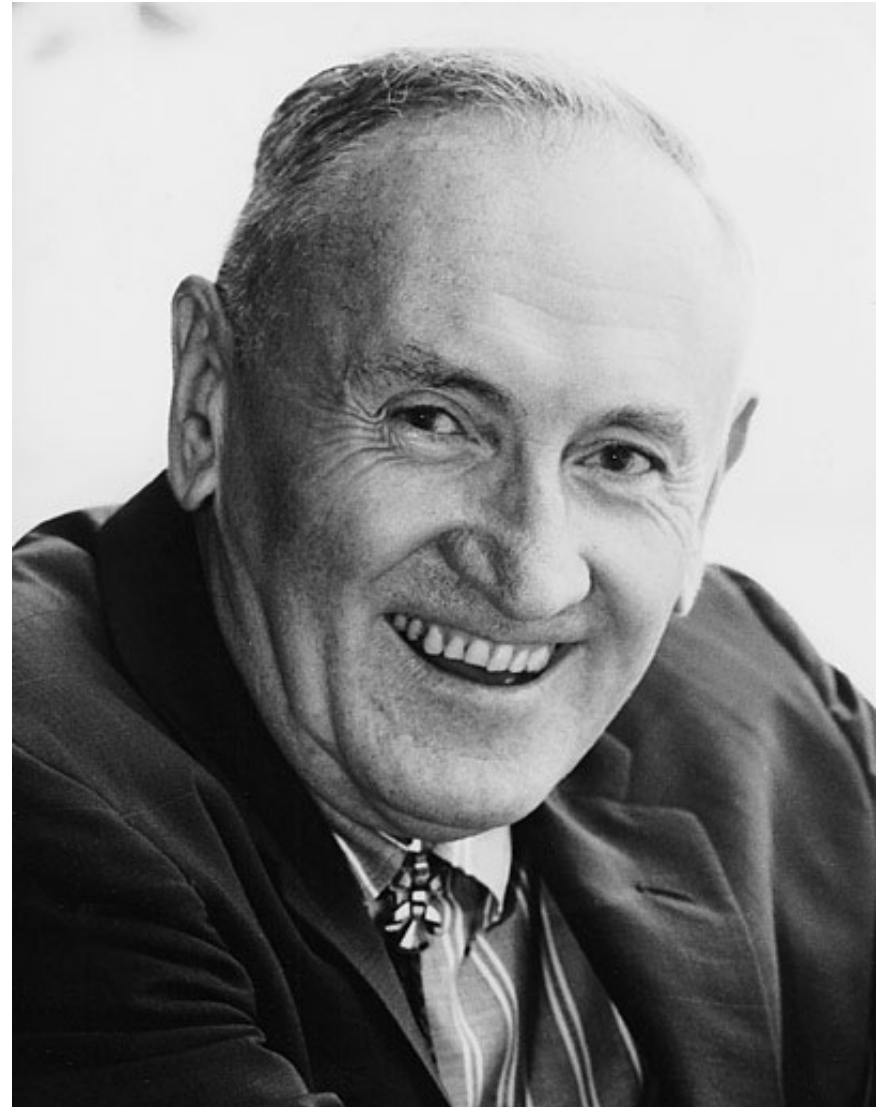


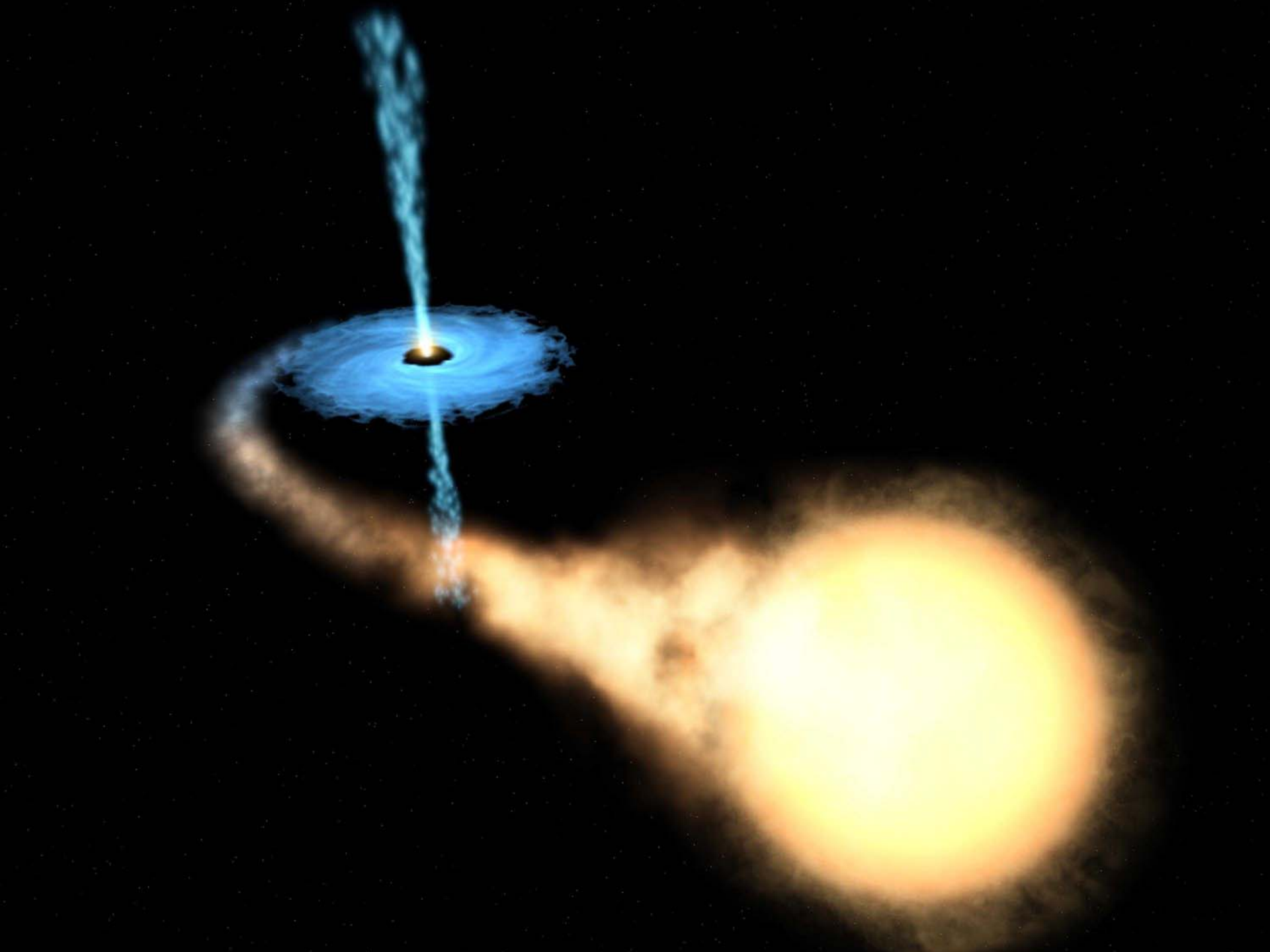


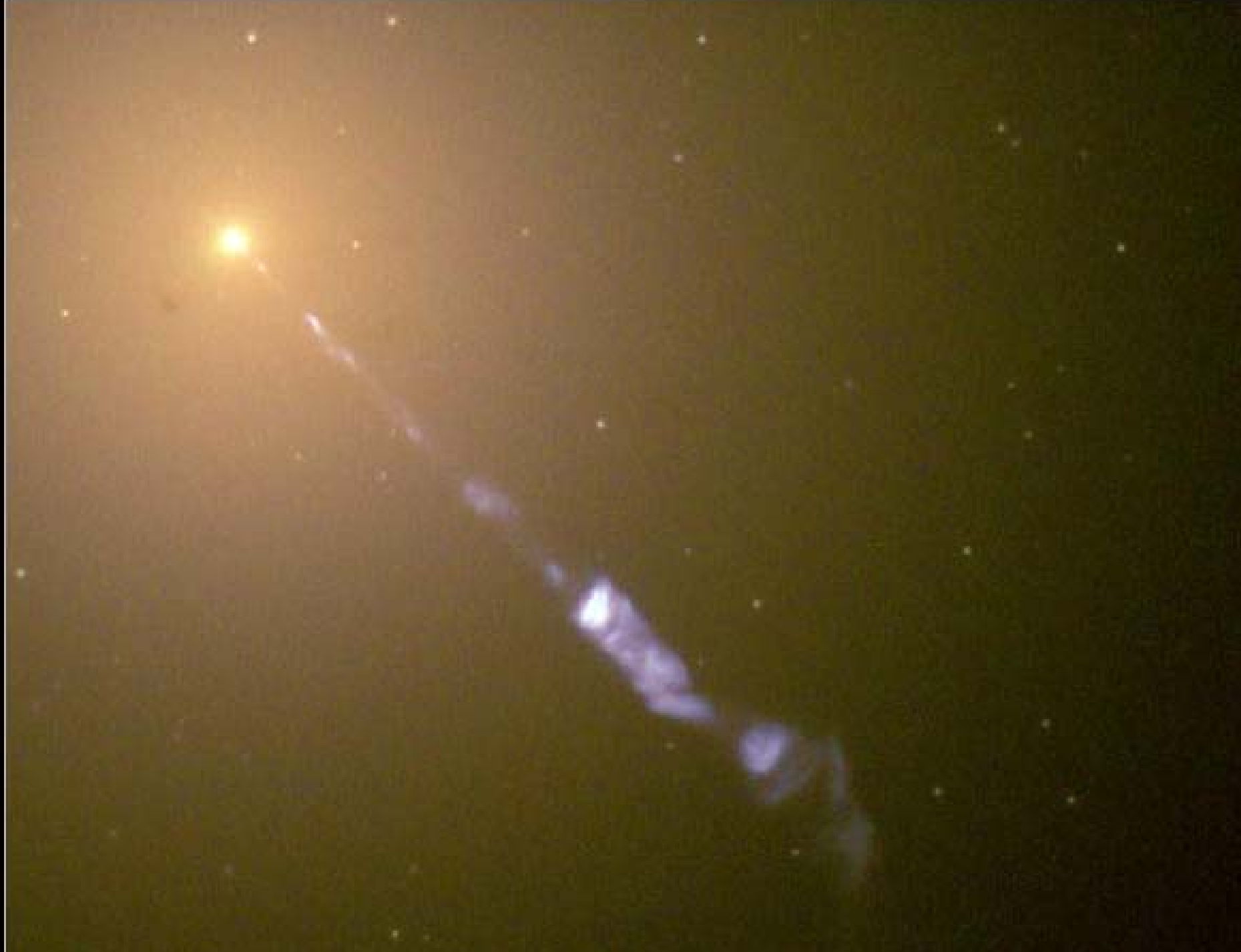
Subrahmanyan Chandrasekhar (1910-1995)



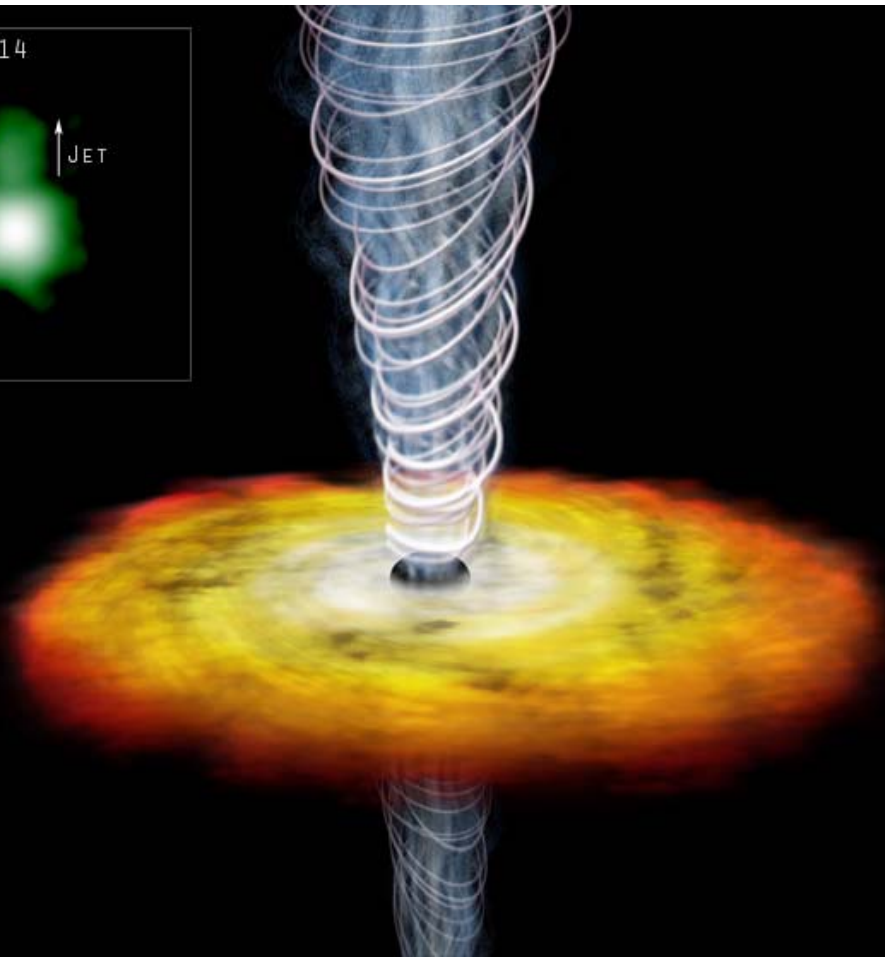
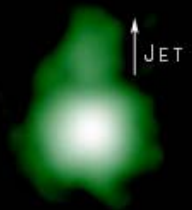
Fritz Zwicky (1898-1974)

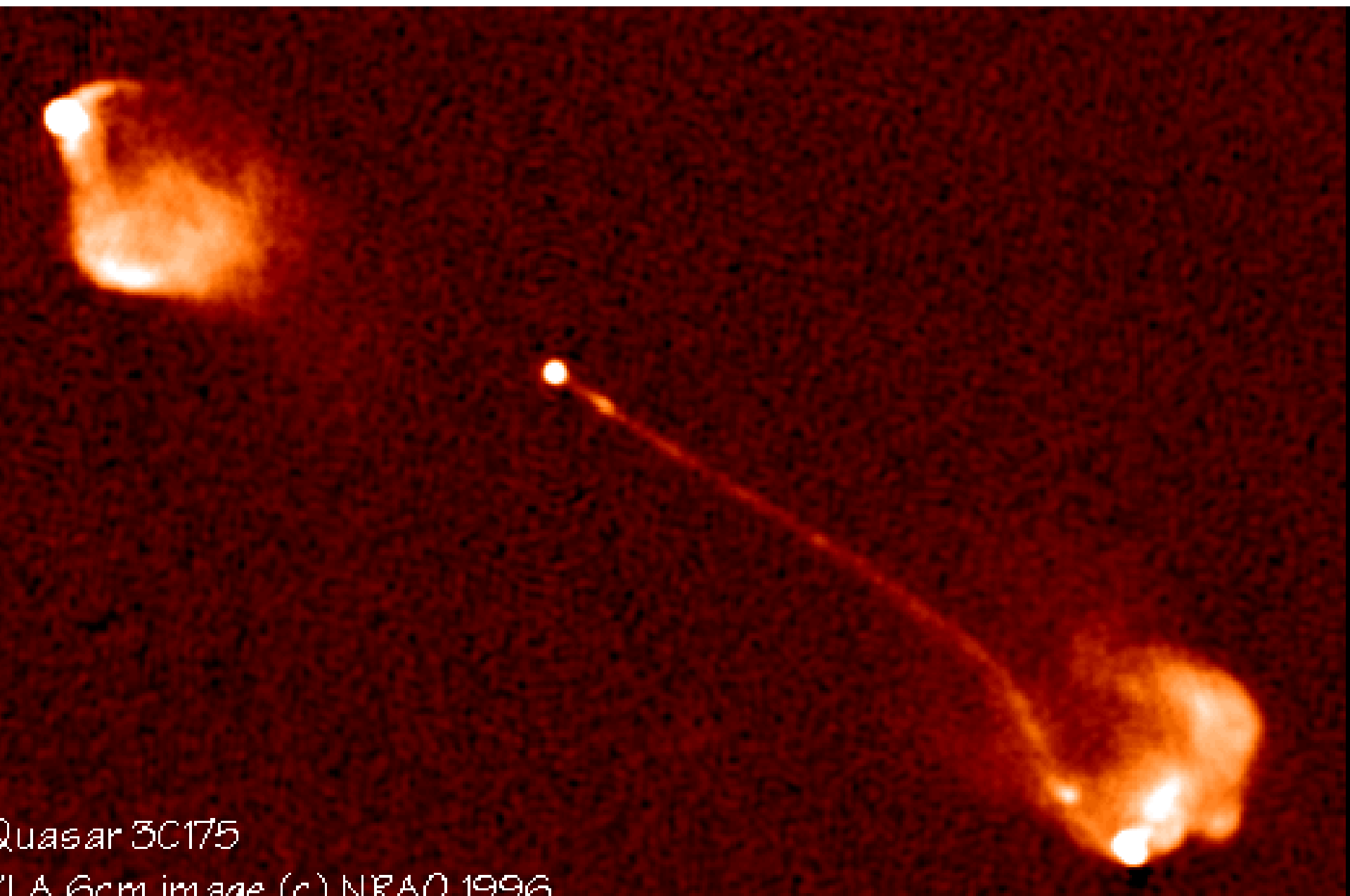






GB1508+5714





Quasar 3C175

LA 6cm image (c) NRAO 1996

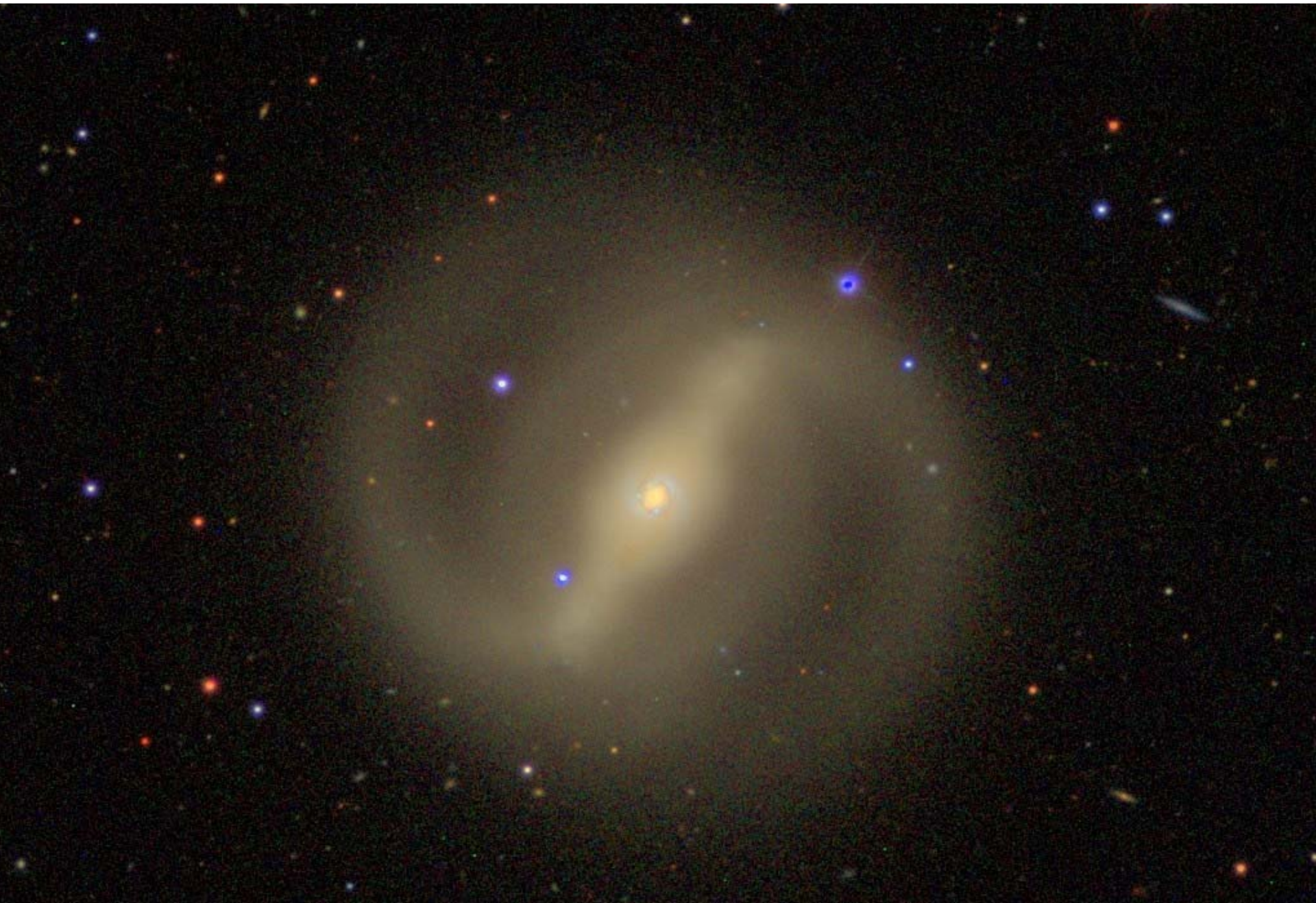
NGC 3486 - LINER



M 51 + M 51b (2 LINERs)



NGC 4314 – LINER (SDSS)

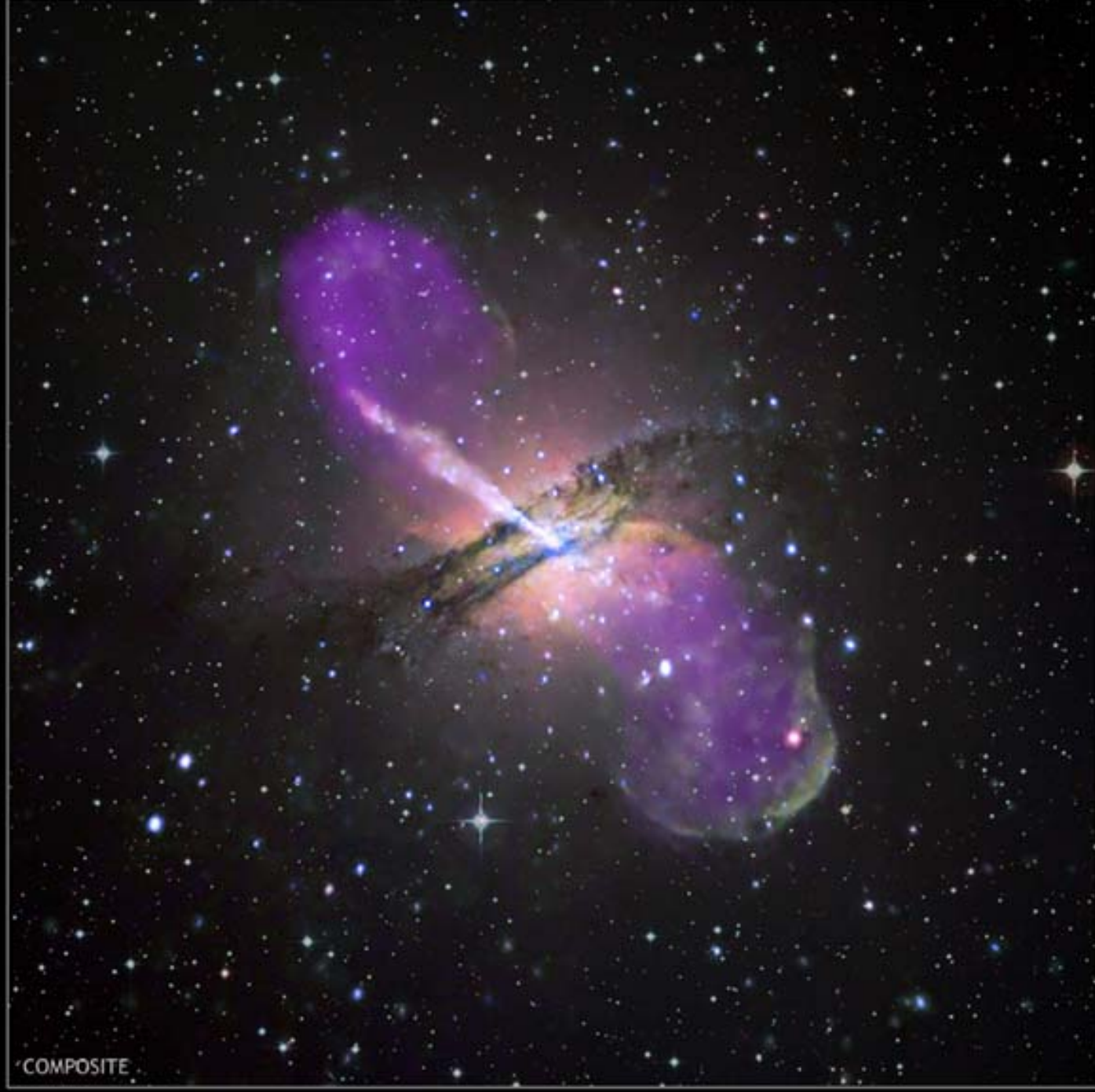


NGC 4565 – Sy1.9 (SDSS)



NGC 3718 - LINER (SDSS)





COMPOSITE



X-RAY

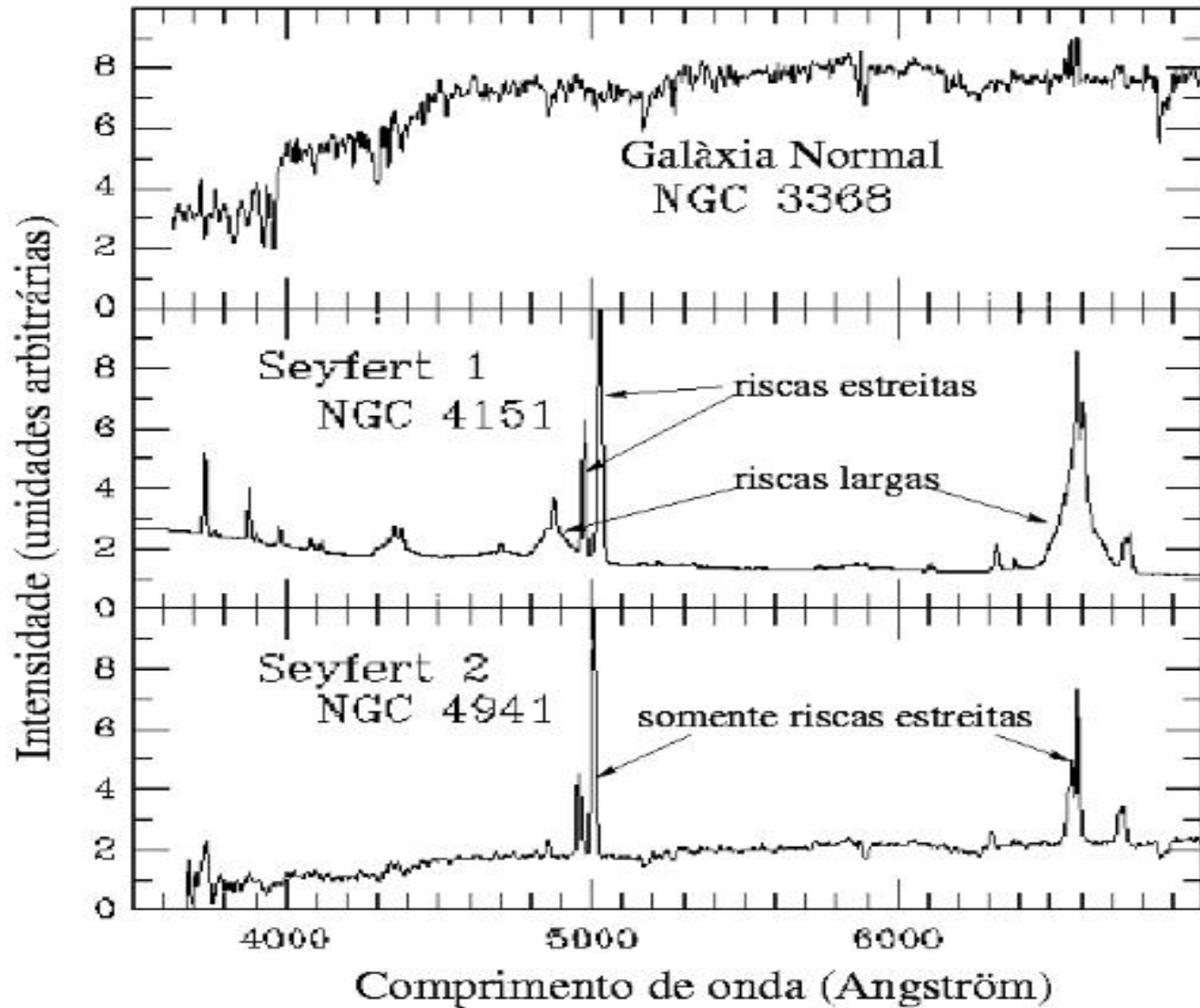


RADIO

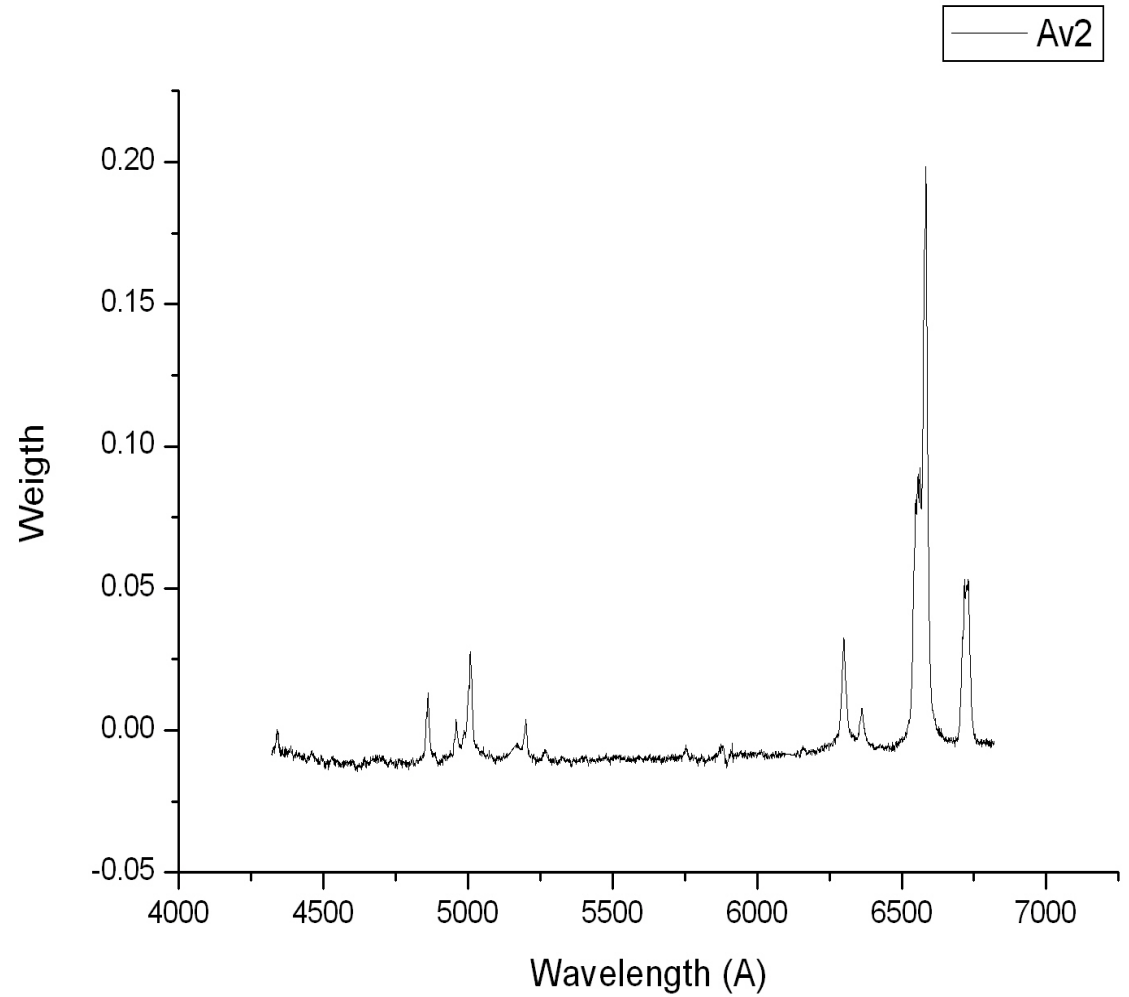
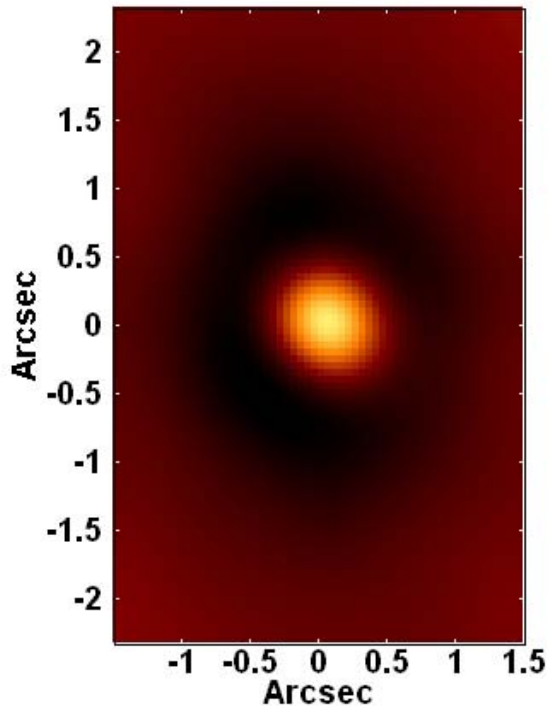


OPTICAL

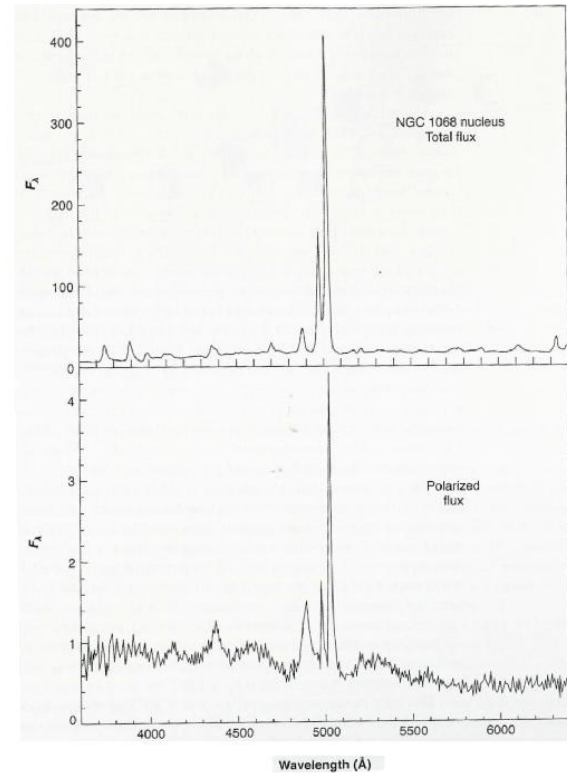
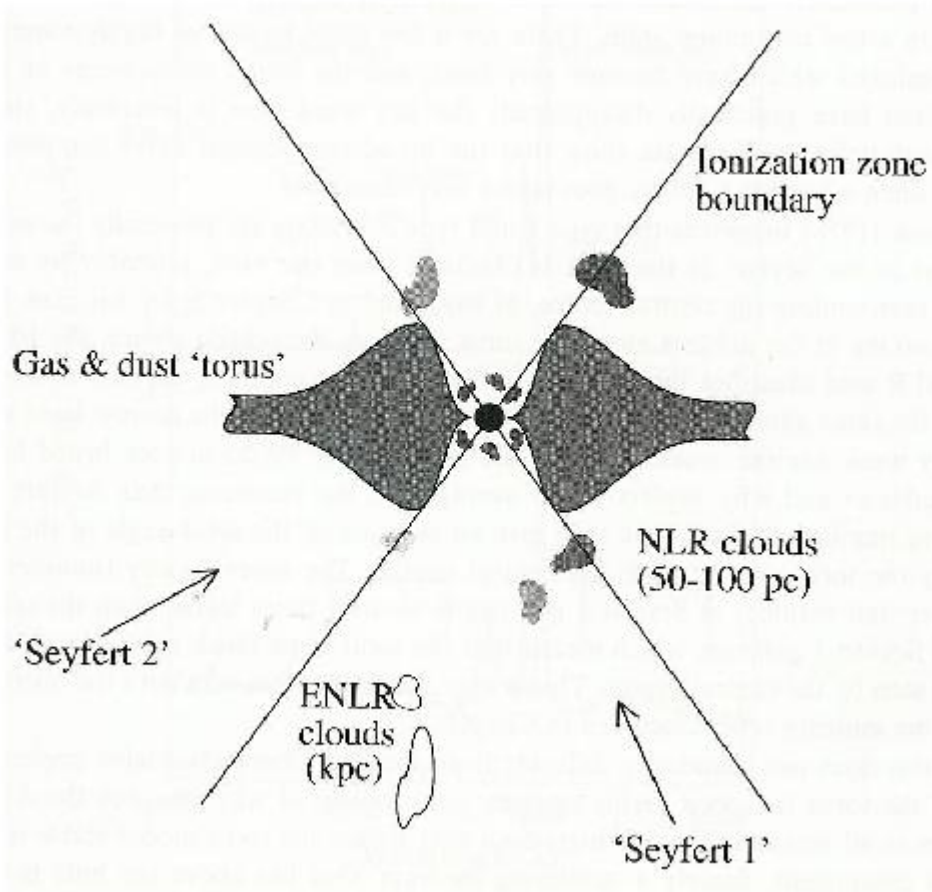
Seyfert 1 vs 2

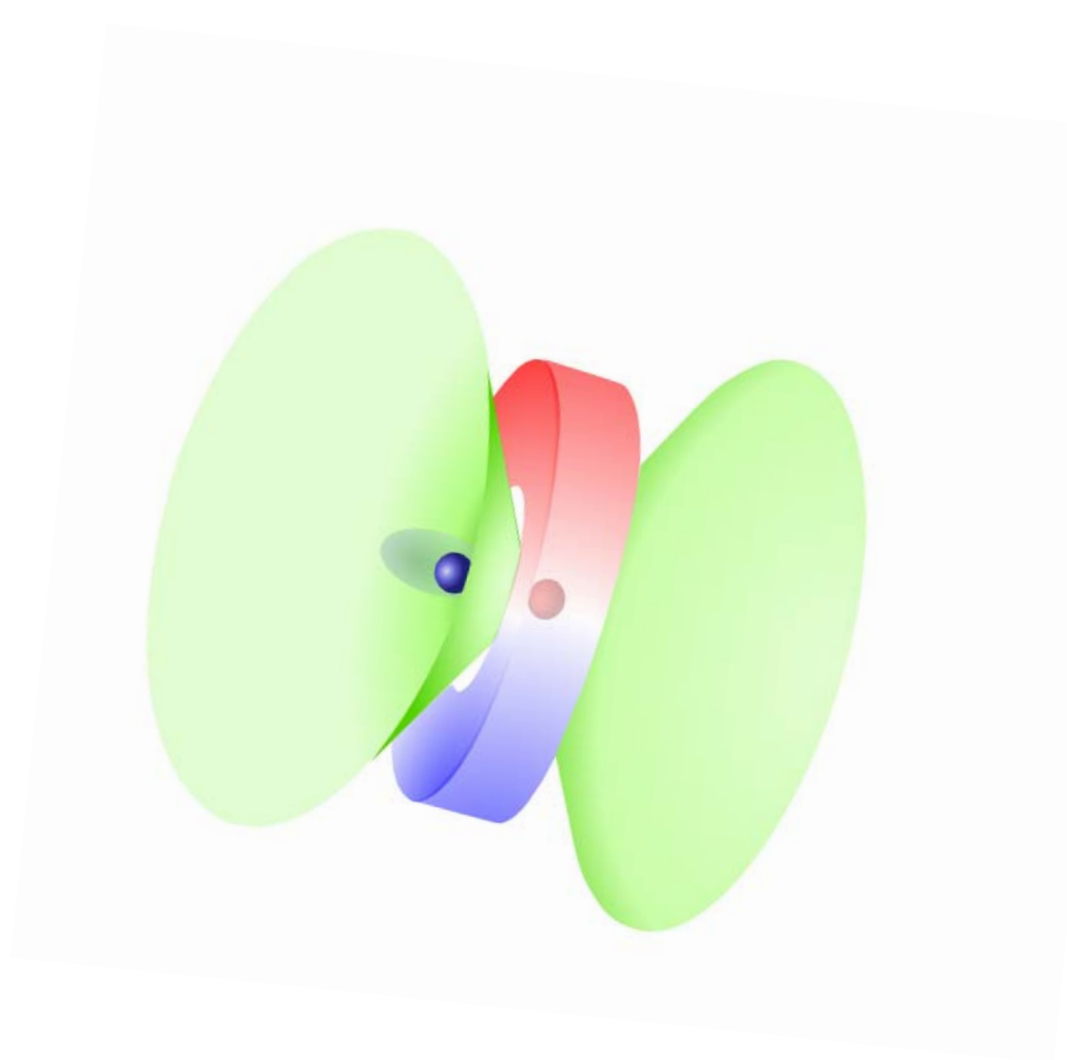
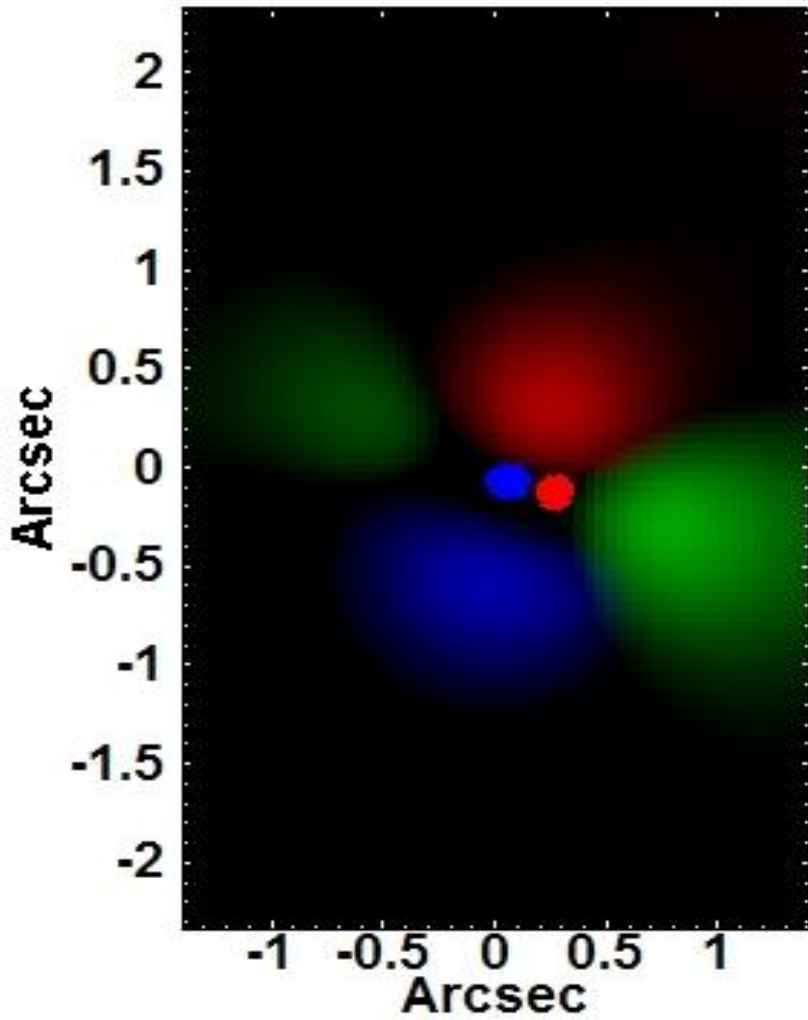


IC1459 – Av 2

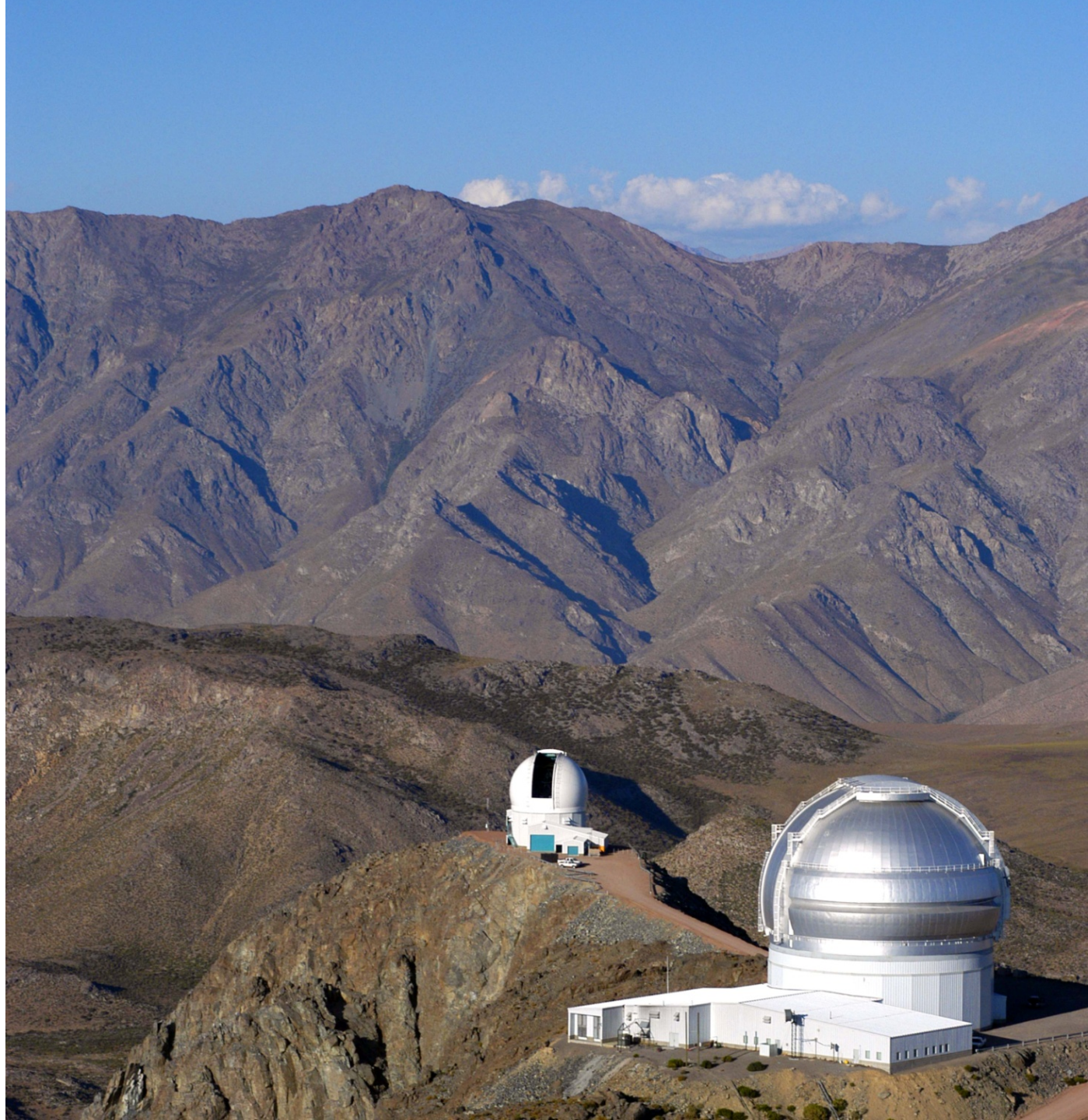


AGN – the unified model

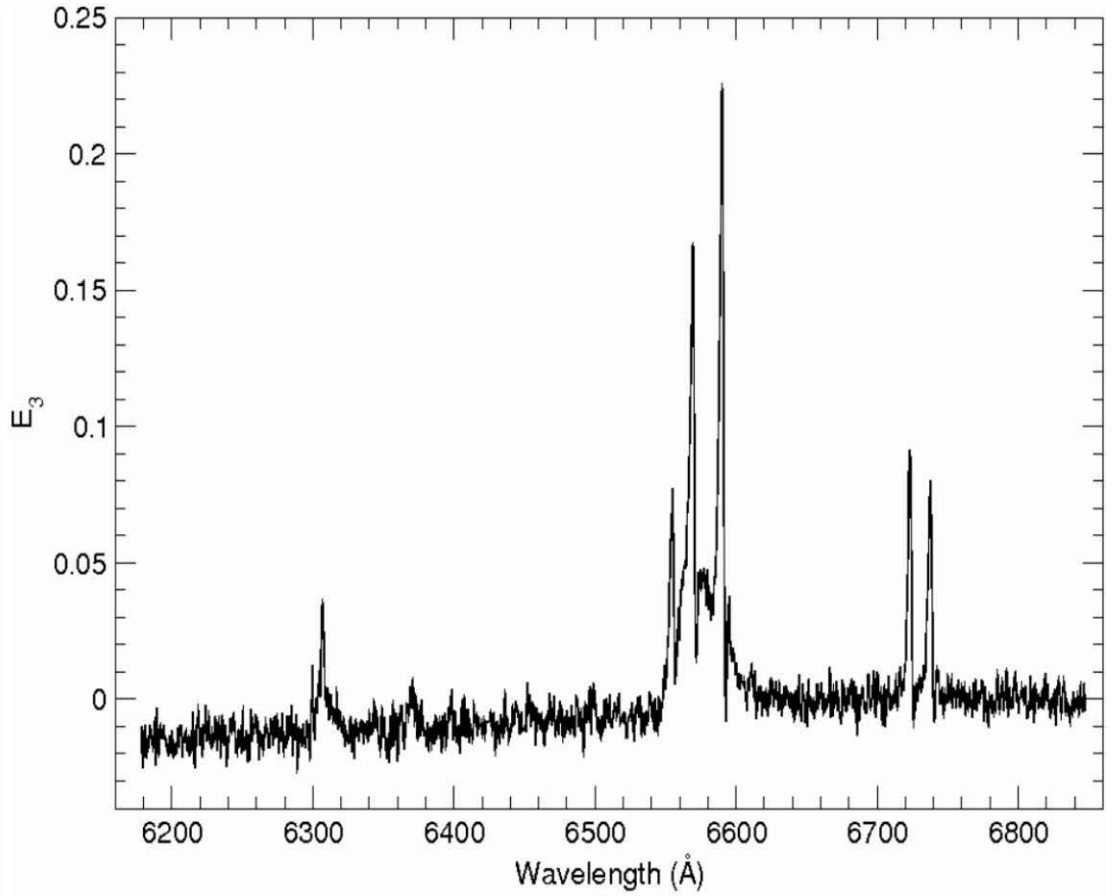
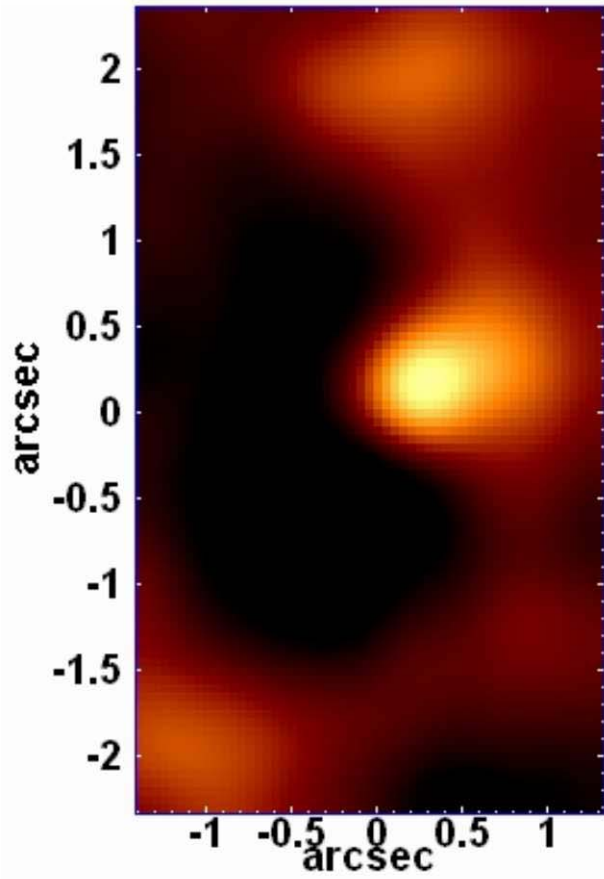




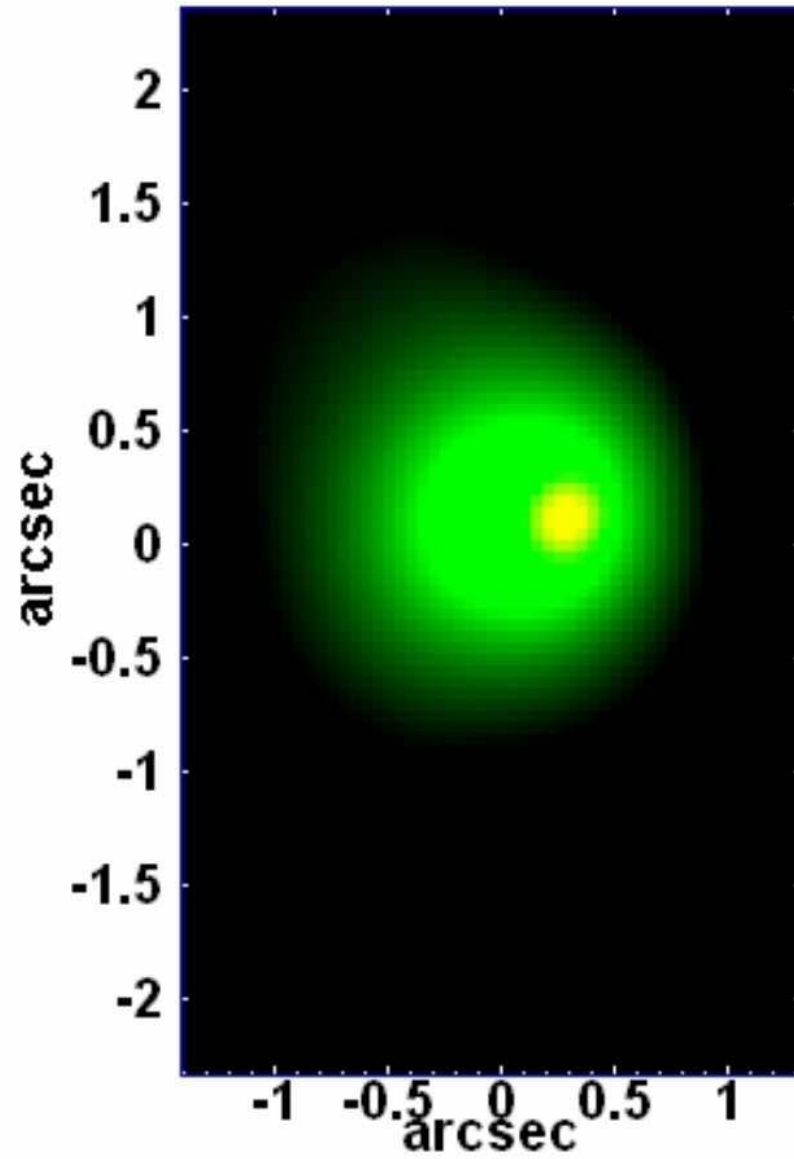
- Imagem dupla do núcleo ativo na galáxia elíptica NGC 7097

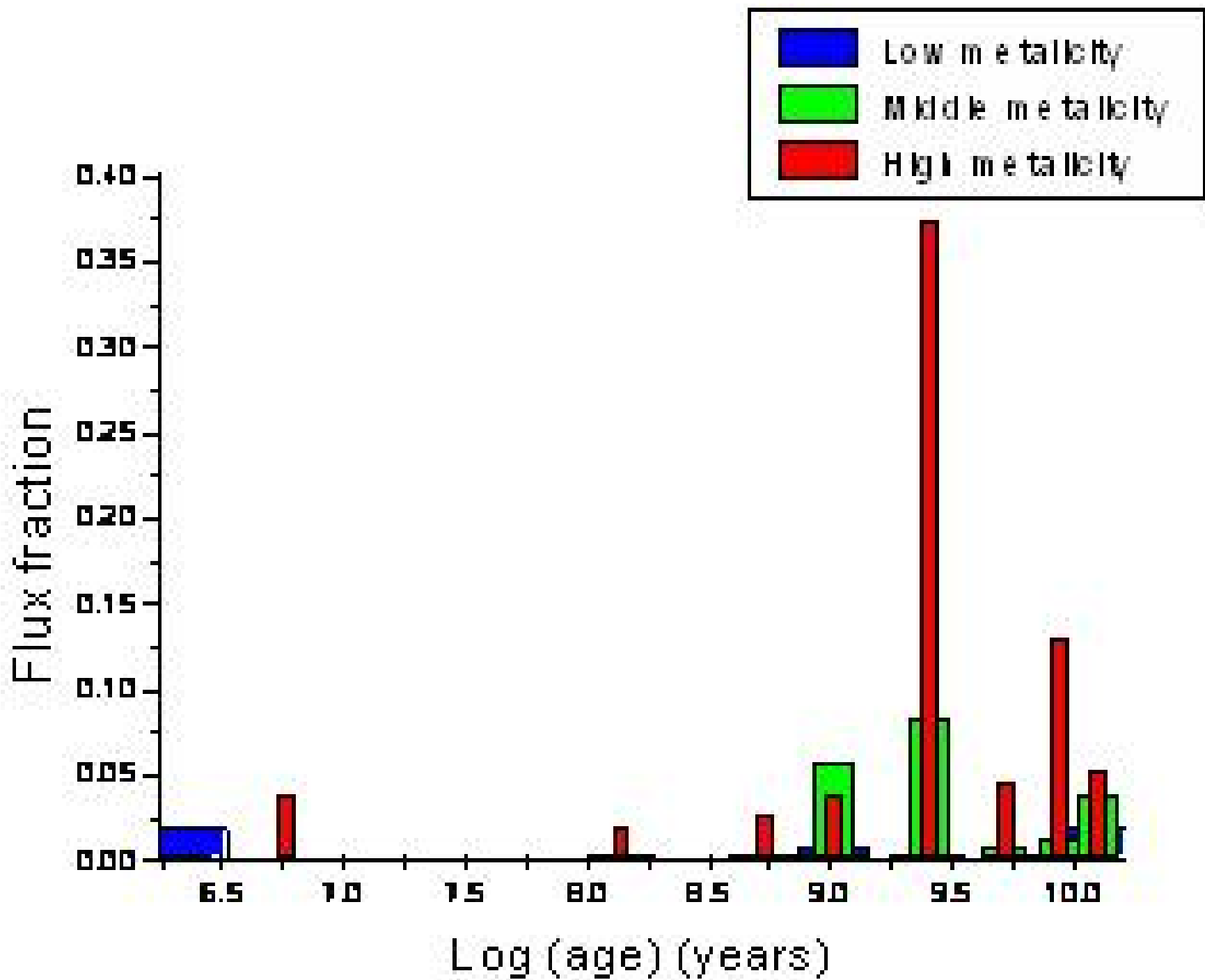


M 94



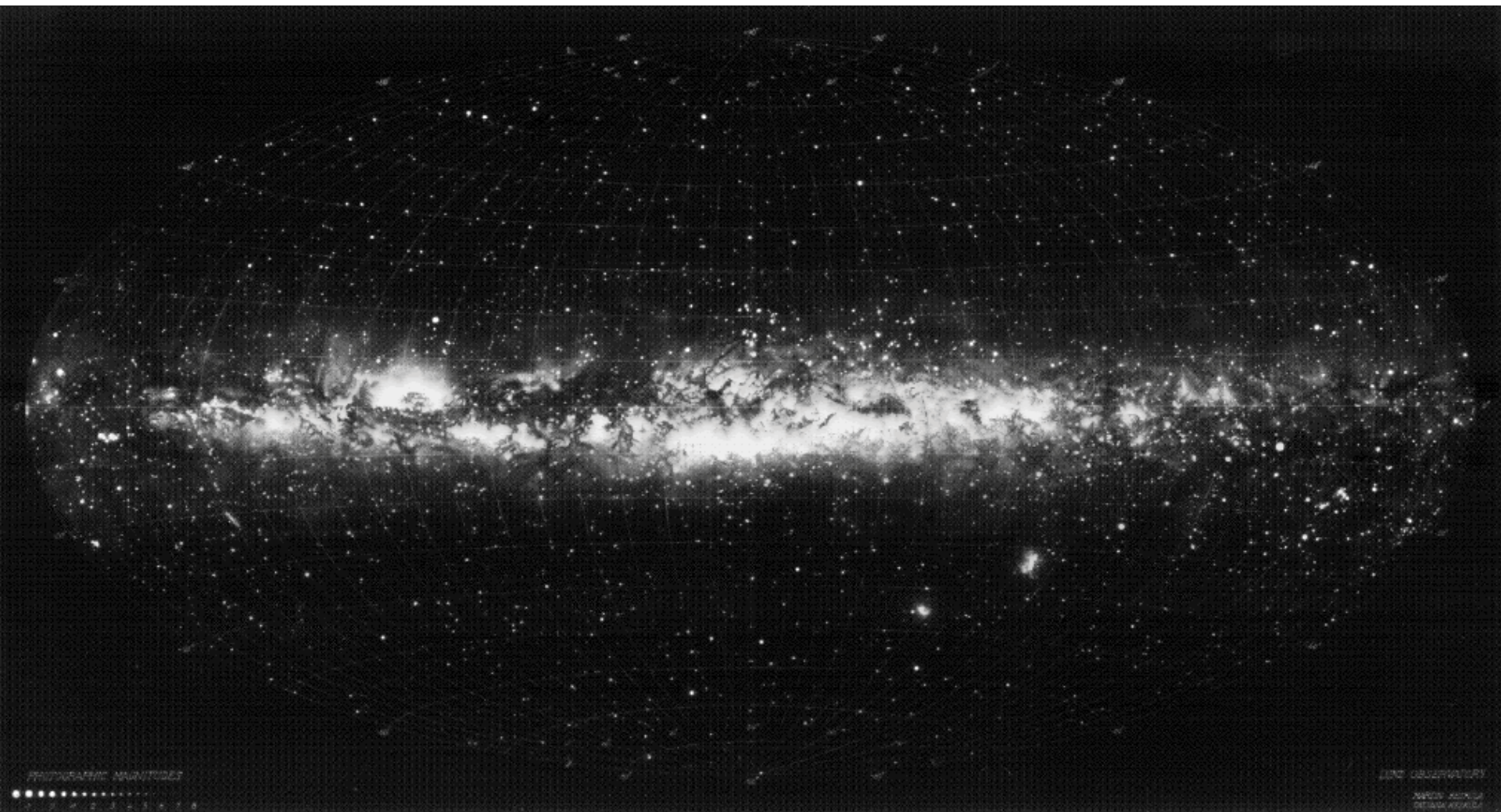
M 94





Avanços importantes da última década

- Confirmação do buraco negro supermassivo da Via Láctea
- Medidas de momento angular em buracos negros estelares (8) e supermassivos (5)
- Paradigma da co-evolução entre galáxias e buracos negros



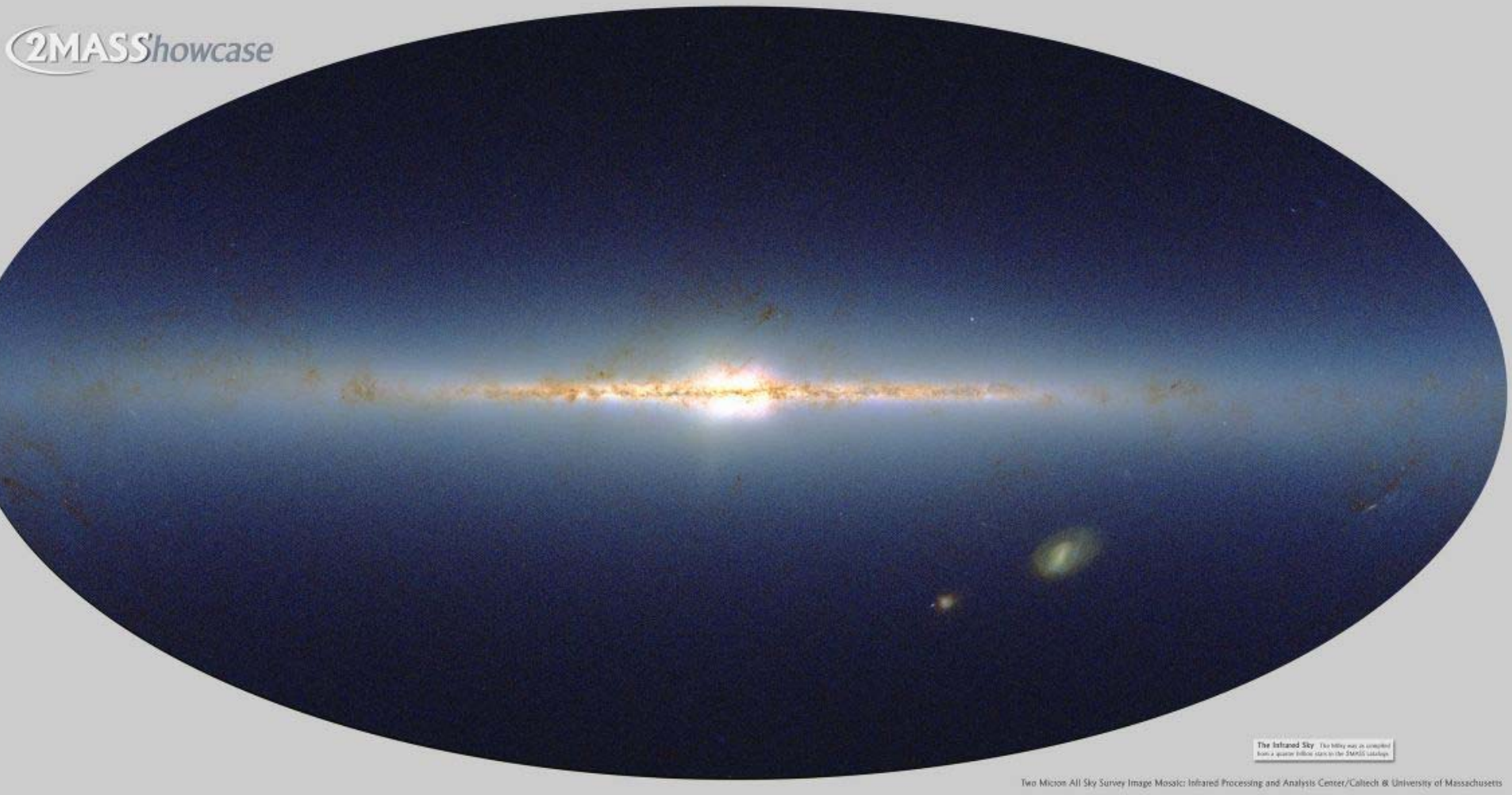
PHOTOGRAPHIC MAGNITUDES



LEAO OBSERVATORY

WIDE FIELD OF VIEW

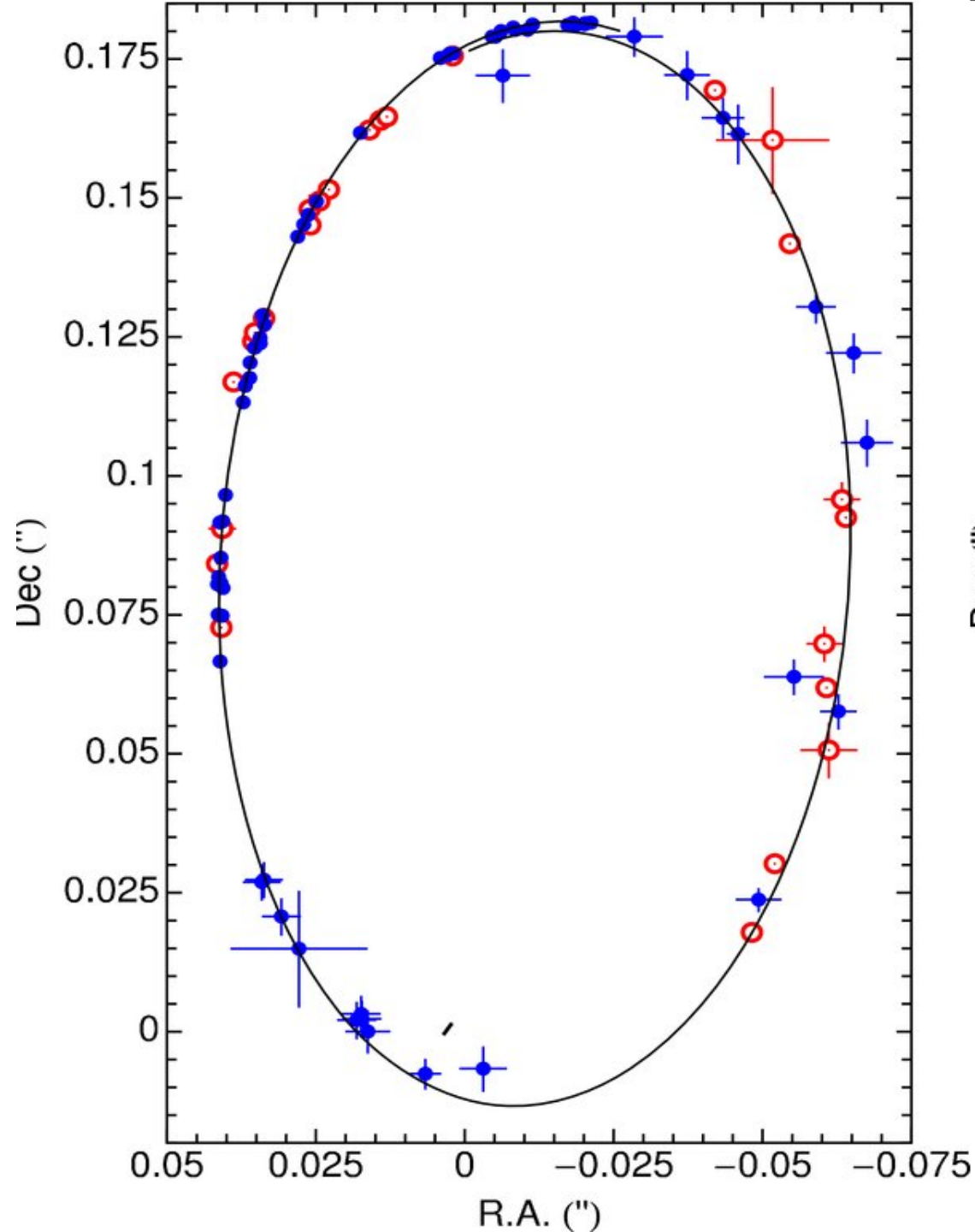
Via Láctea no infra-vermelho

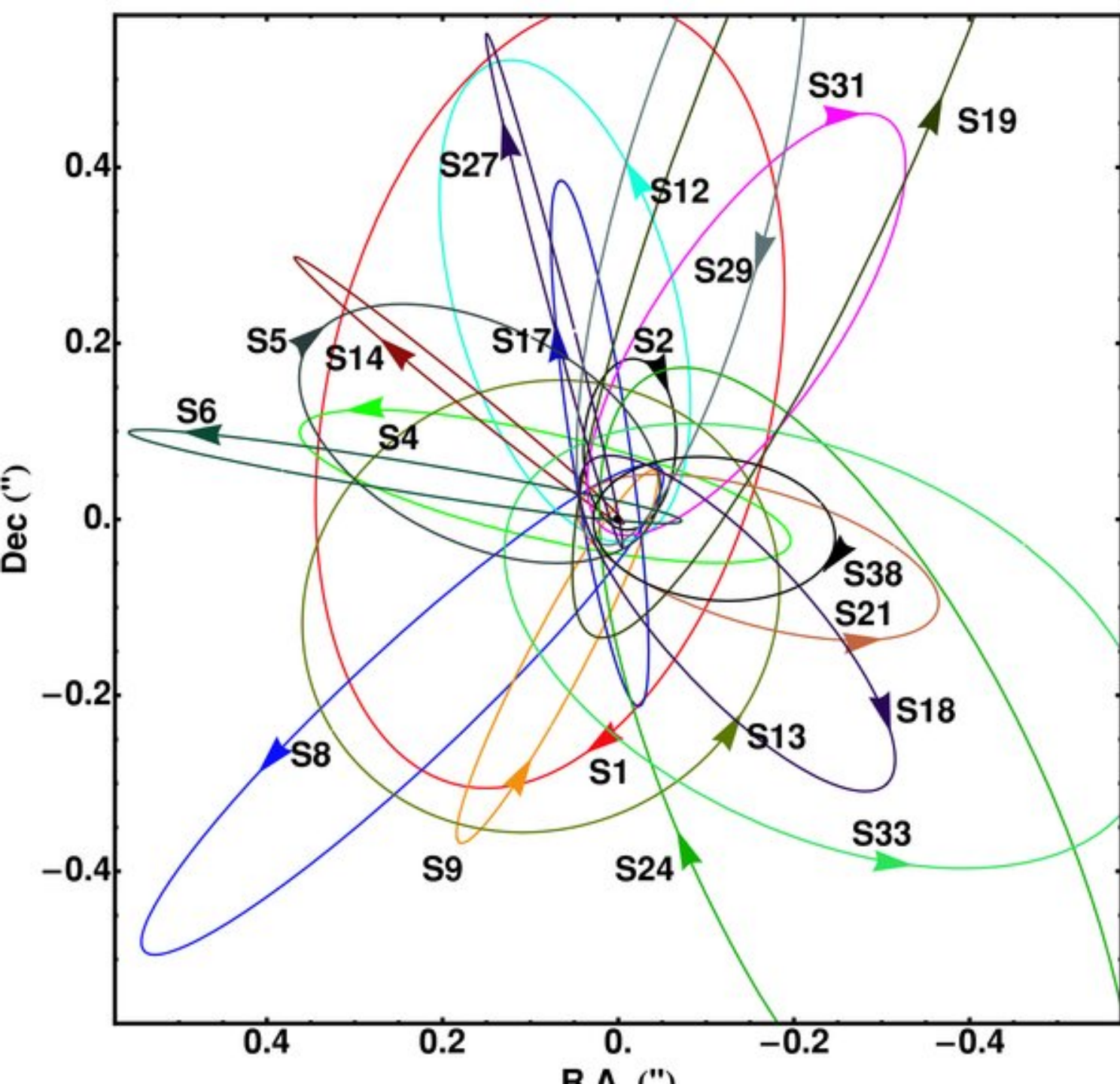


Gillessen et al 2009
ApJ 707, L114

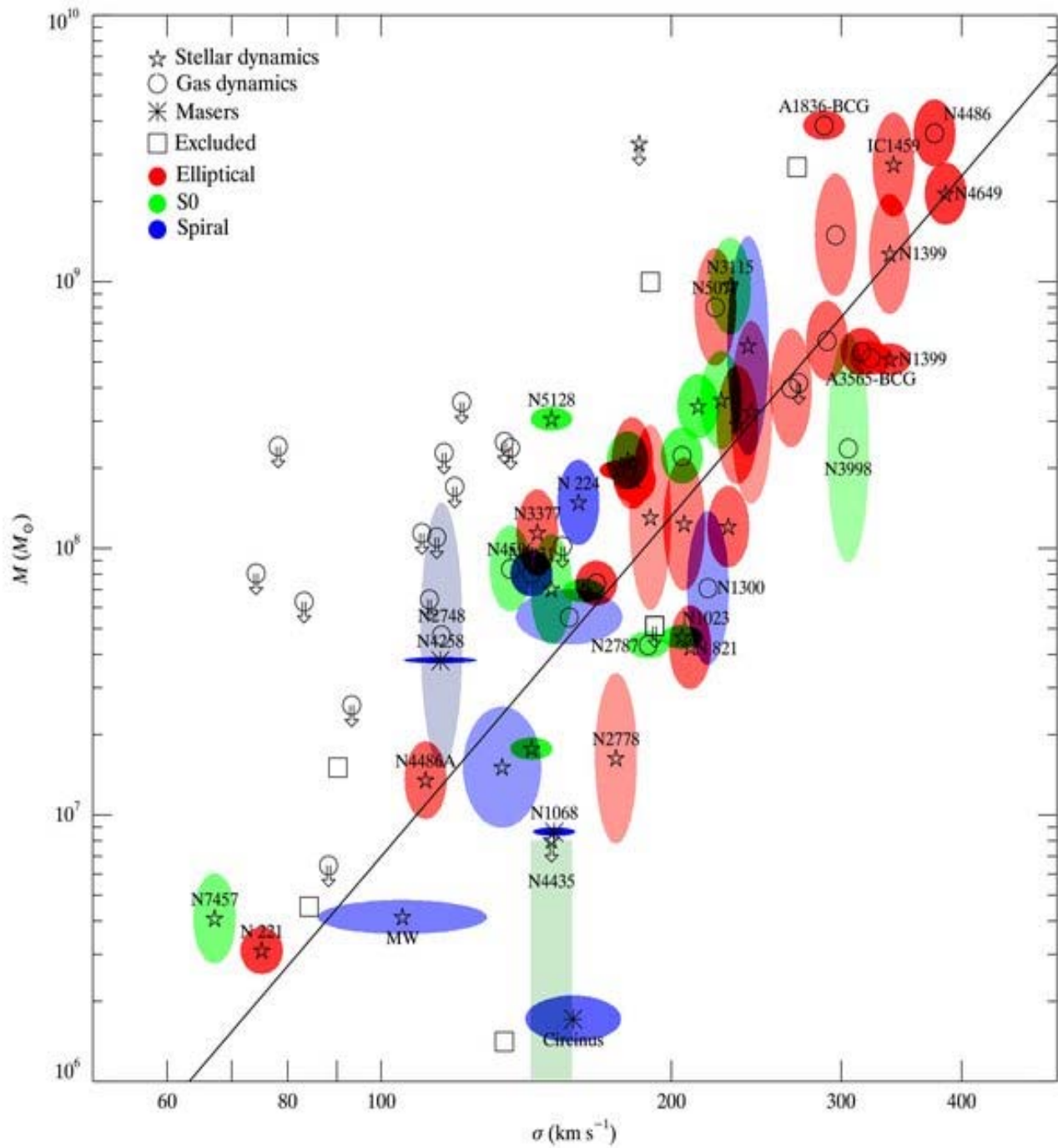
Blue = VLT
Red = Keck

$M = 4.30 \pm 0.30$ Million M_{sun}
 $R_o = 8.28 \pm 0.29$ Kpc

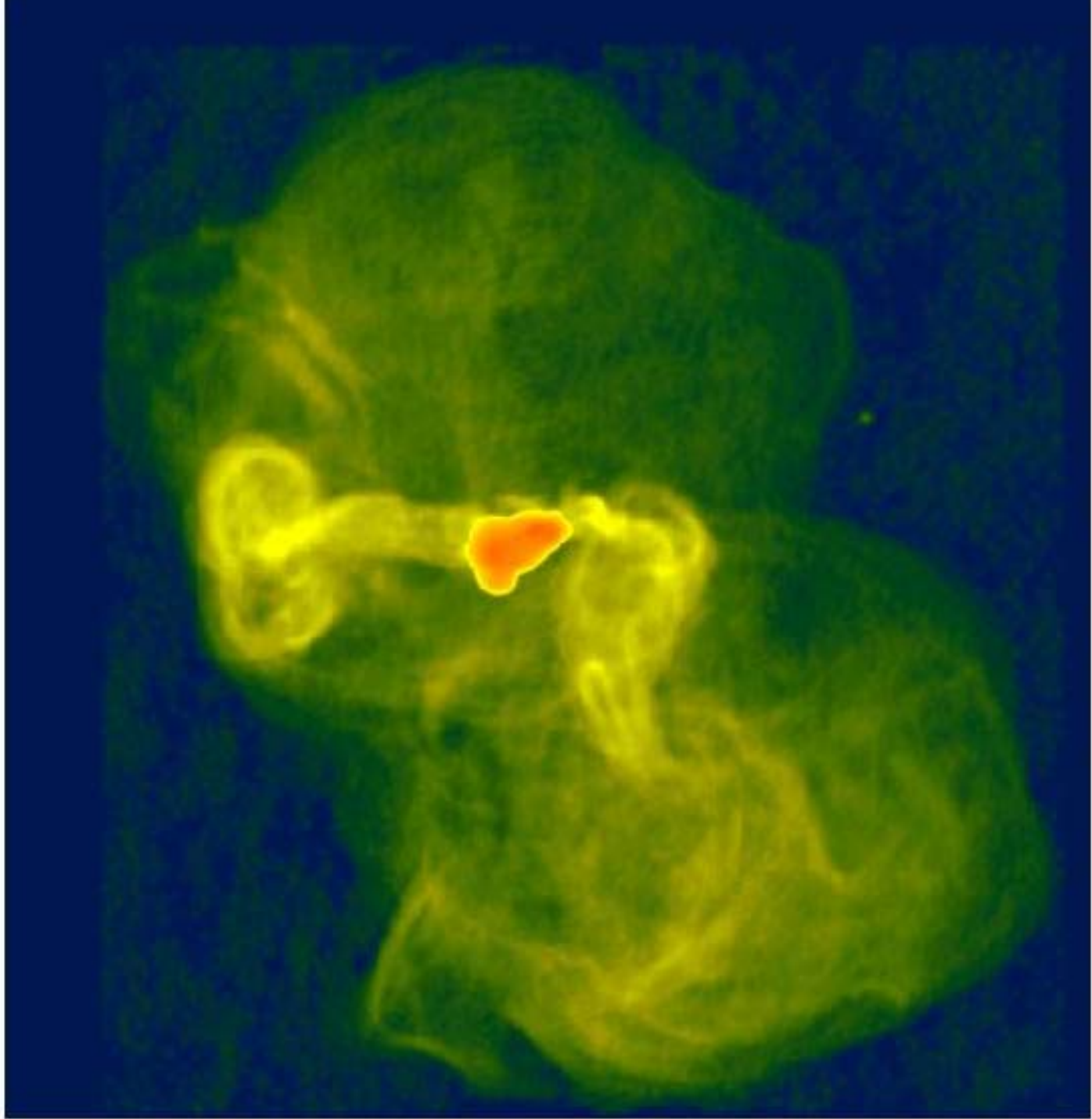








M 87
em rádio





Obrigado